

بررسی چگالی پیوندهای عرضی در پلی دی متیل سیلوکسان به روش گرماسنجی و مقایسه آن با روش تورم تعادلی

Determination of Crosslinking Density of Poly(dimethylsiloxane) Network by Calorimetry and Comparison with Equilibrium Swelling Method

فاطمه شکرالهی، حمید میرزاده، محمد تقی خراسانی

نهار، پژوهشگاه پلیمر ایران، صندوق پستی ۱۴۹۶۵-۱۱۵

دربافت: ۷۸/۲۲/۲، پذیرش: ۷۸/۹۳/۲

چکیده

اطلاعات مربوط به درجه وولتاژ محصولات الاستومری اغلب از اهیت ویژه برخوردارند، زیرا بیشتر محصولات برای حصول سختی یا مدول حاصل که مربوط به مصرف نهایی آنهاست، ترکیب و پخت می‌شوند. اگر به هر دلیلی مدول طی زمان کاربرد تغییر کند، این تغییر در کوتاه شدن طول عمر قطعات موثر خواهد بود. در این مقاله، چگالی پیوندهای عرضی الاستومر پلی دی متیل سیلوکسان به روش اندازه‌گیری تورم تعادلی و با استفاده از معادله فلوری-رنو، از راه تعیین میران جذب یا تورم، و همچنین به روش گرماسنجی و با استفاده از محاسبه طرفت گرمایی پلیمر قبل و بعد از شکافای شدن معنی و نتایج این دو روش با هم مقابله شده است. نتایج بدست آمده مشخص می‌کند که طرفت گرمایی برای تخمین چگالی پیوندهای عرضی پلیمر پلی دی متیل سیلوکسان قابل استفاده است. همچنین، معنوم شده است که سهای چگالی پیوندهای عرضی حاصل به روش گرماسنجی، با مقدار بدست آمده از اندازه گیریها تورم مطابقت می‌کند.

واژه‌های کلیدی: پلی دی متیل سیلوکسان، تورم تعادلی، چگالی پیوندهای عرضی، طرفت گرمایی، گرماسنجی

Key Words: poly(dimethylsiloxane), equilibrium swelling, crosslinking density, heat capacity, calorimetry

مقدمه

تجزیه و تحلیل سهم عامل مستقل بکار رود.

اگر عنصر اصلی ساختاری مواد نظری زنجیرهای پلیمری،

جهت یابی تسبی زنجیرهای پلیمر و پیوندهای عرضی بین زنجیرهای، به عنوان عوامل مستقل و سایر عوامل از قبیل پرکشیدهای، برمکندهای و خره به عنوان عوامل واسه در نظر گرفته شوند، سهم عوامل واسه در هر آزمون فیزیکی به شرایط عناصر ساختاری اصلی بستگی خواهد داشت. در این بحث برای تعیین چگالی پیوندهای عرضی نهای عوامل مستقل در نظر گرفته شده‌اند [۱].

روشهای تکنیکی برای تعیین چگالی پیوندهای عرضی وجود

بعض متخصصات عملکردی یک ماده الاستومری در شرایطی غیر از شرایط واقعی مشکل بوده و این نوع آزمایشها رمانزیر و بر هزینه است. معمولاً فن آور لاستیک ناید نتایج آزمایشگاهی را بر حسب پتانسیل عسکری بیان کند. با این این، اصلاحات گردآوری شده در آزمایشگاه به عوام مجموعه‌ای از عوامل که در ماده یا روزی آن عمل می‌کند. بیان می‌شود، اما، اگر این عوامل به صورت مستقل یا واسه در نظر گرفته شود، نظریاً تمام اطلاعات فیزیکی می‌تواند خبلی کمی نر و به کمک

که m_s و m_h بترتیب وزنهای پلیمر خشک و متورم شده در شرایط تعادلی است. همچنین، بازده شبکه‌ای شدن با استفاده از فرمول زیر قابل محاسبه است:

$$\gamma = \frac{m_s}{m_h} \quad (4)$$

که m_s وزن پلیمر خشک قبل از استخراج اجرای شبکه‌ای نشده است.

ظرفیت گرمابی و چگالی پیوندهای عرضی

در یک پلیمر سی‌شکل خطی، درجه آزادی بشدت تحت تأثیر حالت‌های مختلف آن: شیشه‌ای ($T_g < 0^\circ C$ پایینتر از T_g)، لاستیک ($T_g > 0^\circ C$ پایینتر از T_g) تا T_g و مایع ویسکوالاستیک (بین T_g و $T_f < 50^\circ C$ بالاتر از T_g) قرار دارد. درجه آزادی پلیمر سی‌شکل در حالت مایع، که به صورت زیر تقریب زده می‌شود [۴]:

$$\gamma = \sum_{i=1}^n N_i \gamma_i \quad (5)$$

که $\sum_{i=1}^n N_i$ تعداد کل مولکولها در جرم پلیمر، N_i تعداد مولکولهای با وزن مولکولی M_i و γ_i تعداد اتمها در هر مولکول با وزن مولکولی M_i است. از نقطه نظر مکانیکی، سیستم پلیمر در حالت مایع (معادله ۵) می‌تواند به عنوان مجموعه‌ای از نوسان‌گشتهای مستقل در نظر گرفته شود که هر کدام مربوط به یک ارتعاش نرمال است.

درجه آزادی در حالت گاز (f_g) در اثر پیوندهای فیریکی قطعه‌های زنجیر از قبیل نیروهای وان‌دروالس، گره خورده‌گی و غیره کاهش نشان می‌دهد. در حالت شیشه‌ای ($f_g = 0$)، کاهش محدودی در اثر پیوندهای شیمیایی قطعه‌های زنجیر، علاوه بر موارد فوق، روی می‌دهد و کاهش درجه آزادی در دماهای بالاتر از T_g است، تنها در اثر پیوندهای شیمیایی قطعه‌های زنجیر صورت می‌گیرد.

ظرفیت گرمابی پلیمرهای سی‌شکل خطی (C_p) در حالت مایع با استفاده از تقریب دی، به درجه آزادی و دما مربوط می‌شود:

$$C_p = (\phi(\frac{\theta}{T}))_i \quad (6)$$

$$\phi(\frac{\theta}{T})_i = [D_i(\frac{\theta}{T}) - \frac{\theta}{T} \frac{\delta D_i(\theta/T)}{\delta(\theta/T)}] \quad (7)$$

$$\theta = hW_m \quad (8)$$

h ثابت پلاک و W_m حداقل فرکاسی است که در آن تمام اتمها برانگیخته می‌شوند. بنابراین، می‌توان دریافت که θ به متخصه‌های ویژه

دارد که از آن جمله می‌توان به آزمونهای کشش، سرعت تورم، تورم تعادلی، جذب سطحی بخار، اسومتری فشار بخار، یخش نوترون و رزوناس مغناطیسی هسته اشاره کرد [۲]. روش متداول، تعیین تورم وزن مشخص از الاستو默 در یک حلal مناسب مانند پترن و نولوئن و استفاده از معادله فلوری-رنر است [۳]. یک روش جدید و مناسب نیز وجود دارد که در آن از گرماسنجی استفاده می‌شود [۴] که در این پژوهش از روش اخیر استفاده و نتایج حاصل با روش تورم تعادلی مقایسه می‌شود.

تورم تعادلی و چگالی پیوندهای عرضی نظر به تورم تعادلی فلوری-رنر، رفتار شبکه‌های پلیمری ساده را در محاورت مولکولهای کوچک بررسی می‌کند و نیروهای بوجود آمده از سه منع را مورد توجه قرار می‌دهد:

۱- تغییرات آتروپی ناشی از اختلاط پلیمر و حلal که این تغییر مثبت بوده و به تورم کمک می‌کند.

۲- تغییرات آتروپی ناشی از کاهش تعداد پیکربندیهای ممکن زنجیر به هنگام تورم که این تغییر منفی و بر ضد تورم است.

۳- گرمای اختلاط پلیمر و حلal که می‌تواند مثبت، منفی یا صفر باشد و معمولاً جزئی مثبت و در جهت عکس اختلاط است.

معادله فلوری-رنر، به صورت زیر نوشته می‌شود [۵]:

$$-\ln [\gamma^{1/2} + \gamma^{1/2} + X_1 \gamma_1^2] = V_1 n [\gamma_2^{1/2} - \frac{\gamma_2}{\gamma_1}] \quad (1)$$

که در آن γ جزء حجمی پلیمر در حرم متورم شده، V_1 حجم مولی حلal و X_1 پارامتر برهم کش پلیمر و حلal فلوری-هایگر است و n نیز تعداد فلکات شبکه‌ای فعل زنجیر (مول بر واحد حجم) است و با نسبت چگالی پلیمر به وزن مولکولی یک قصمه شبکه‌ای شده برابر است:

$$n = \frac{\rho}{M_c} \quad (2)$$

چگالی پیوندهای عرضی پلیمر می‌تواند با اندازه گیری قابلیت جذب کلی حلal به وسیله پلیمر ارزیابی شود. برای اندازه گیری قابلیت جذب اندامد اجزای شبکه‌ای شده داخل پلیمر از طریق استخراج با حلal و خشک کردن حذف شوند؛ زیرا در غیر این صورت نتایج بدست آمده تکرار نمی‌شوند. قابلیت جذب به صورت زیر تعریف می‌گردد [۶]:

$$\Lambda = (m_h - m_s)/m_s \quad (3)$$

کاهش درجه آزادی در اثر شبکه‌ای شدن با معادله زیر محاسبه می‌شود:

$$f_c - f = -\frac{1}{3} \sum_{i=1}^n N_i'' \gamma_i'' \quad (16)$$

سمت راست معادله ۱۶ برابر با میزان کاهش درجه آزادی در اثر پیوندهای شیمیایی قطعه‌های زنجیر است.

برای شبکه‌ای که کاملاً در دمای بالاتر از T_g خود قرار دارد، ۷
برابر با تعداد قطعه‌های شبکه‌ای شده است و سمت راست معادله بالا نیز
برابر با همین مقدار است.

وقتی در تمام نقاطی که احتمال شبکه‌ای شدن وجود دارد
شبکه‌ای شدن انجام گیرد، درجه آزادی از معادله زیر بدست می‌آید:

$$f_g - f = -\frac{1}{3} \sum_{i=1}^n N_i' \gamma_i' \quad (17)$$

سمت راست (N_c) این معادله کاهش درجه آزادی در اثر انواع پیوندهای فیزیکی قطعه‌های زنجیر از قبیل گره‌خوردگی، نیروهای وان دروالس وغیره است. از تقسیم و بازآرایی دو معادله بالا خواهیم داشت:

$$\rho_c' = \frac{1}{3} \sum_{i=1}^n N_i'' \gamma_i'' \phi\left(\frac{\theta}{T}\right)_i / \frac{1}{3} \sum_{i=1}^n N_i' \gamma_i' \phi\left(\frac{\theta}{T}\right)_i = (C_p' - C_p^*) / C_p^* \quad (18)$$

C_p' ظرفیت گرمایی پلیمر شبکه‌ای نشده و C_p^* ظرفیت گرمایی پلیمر شبکه‌ای شده است، بنابراین باید ۷ با C_p متناسب باشد.

در این روش، چگالی پیوندهای عرضی به درجه آزادی پلیمر بی‌شک شبکه‌ای شده که در دمای بالاتر از T_g خود قرار دارد، ربط داده می‌شود.

انتظار می‌رود مقادیر مطلق چگالی پیوندهای عرضی بدست آمده از معادله‌های ۱ و ۱۸ متفاوت باشند، زیرا در حالت اول n از جمله‌های تعداد زنجیرهای شبکه فعال بر واحد حجم (مول/ حجم) بدست می‌آید، در حالی که در حالت دوم چگالی پیوندهای عرضی، ρ_c' ، با n/N_c برابر بوده و به صورت تجربی با استفاده از یک نسبت از ظرفیتهای گرمایی بدست می‌آید.

بهر حال، ρ_c با استفاده از دو نمونه I و II از یک پلیمر با درجه‌های شبکه‌ای شدن متفاوت و تقسیم آنها به n مربوط بدست می‌آید:

$$\rho_{cI}/\rho_{cII} = (\frac{n/V}{N_c})_I / (\frac{n/V}{N_c})_{II} = \frac{n_I}{n_{II}} \quad (19)$$

در مشابهت با روش بالا می‌توانیم داشته باشیم:

ماده بستگی دارد. تابع دبی به صورت زیر تعریف می‌گردد:

$$D_i\left(\frac{\theta}{T}\right) = \frac{2}{(\theta/T)^3} \int_0^{\theta/T} \frac{Z_i^3 dZ_i}{e^{Z_i} - 1} \quad (20)$$

$$Z_i = \frac{\hbar W_i}{T} \quad (21)$$

$$T = KT \quad (22)$$

در معادله بالا T دمای مطلق، K ثابت بولتسمن و W_i فرکانس ارتعاش المان است. با محدودشدن درجه آزادی در حالت مایع به دلیل شبکه‌ای شدن، C_p به مقدار زیر تغییر می‌یابد:

$$C_p = f_c \phi(\theta/T) \quad (23)$$

تابع $\phi(\theta/T)$ برای یک سیستم مشخص در دمای ثابت، بدون تغییر می‌ماند. بنابراین، در چنین شرایطی ظرفیت گرمایی فقط به f_c وابسته خواهد بود [۴]. لازم به ذکر است که در این معادلات درجه‌های آزادی داخلی اتمها درنظر گرفته نمی‌شوند [۷].

چگالی شبکه‌ای شدن (ρ_c) را فلوری به صورت حاصل تقسیم مقدار قطعه‌های شبکه‌ای شده ۷ (در مول) بر تعداد کل قطعه‌ها N (در مول) تعریف می‌کند [۴]:

$$\rho_c = \frac{v}{N} \quad (24)$$

از تقسیم دو جمله معادله ۱۳ بر حجم V خواهیم داشت:

$$\rho_c = \frac{v/V}{N_c/V} = \frac{n}{N_c V} \quad (25)$$

نسبت v/V برای برابر با تعداد کل قطعه‌های شبکه‌ای شده بر واحد حجم و در نتیجه برابر با n بوده و N_c/V نیز تعداد کل قطعه‌ها بر واحد حجم است. مقادیر بدست آمده از بنابراین واحد هر دو بر حسب مول بر حجم است. مقادیر بدست آمده از این معادله به دلیل اینکه تمام قطعه‌های زنجیر بطور شیمیایی شبکه‌ای نمی‌شوند، همواره از یک کمتر است. اگر تعداد کل قطعه‌ها به عنوان جزئی که واقعاً احتمال شبکه‌ای شدن در آن وجود دارد تعریف شده و به صورت N_{cv} نمایش داده شود، N_{cv}/V همان N_c/V بوده و در این صورت چگالی پیوندهای عرضی از لحاظ نظری می‌تواند به واحد بررسد:

$$\rho_c' = \frac{n}{N_{cv}} \quad (26)$$

جدول ۱ - محاسبه چگالی پیوندهای عرضی با استفاده از روش تورم تعادلی.

M_C	n (mol/cm^3)	γ (%)	A	ازمان پخت (min)
۴۰۶۸/۸۰	$۲/۸۱۰۹ \times ۱۰^{-۴}$	۸۹/۲۸	۲/۶۷	۲
۳۱۱۵/۲۲	$۳/۶۷۱۲ \times ۱۰^{-۴}$	۹۴/۷۴	۲/۳۲	۴
۲۷۴۸/۹۵	$۴/۱۶۰۵ \times ۱۰^{-۴}$	۹۶/۹۲	۲/۱۵	۶
۲۵۸۹/۰۸	$۴/۴۱۷۴ \times ۱۰^{-۴}$	۹۸/۰۳	۲/۰۷	۸

فقط به اندازه 1°C را جذب می‌کند. این روش نسبت به روش اختلاف ارتفاعها پیچیده‌تر ولی دقیق‌تر است.

تجربی

مواد

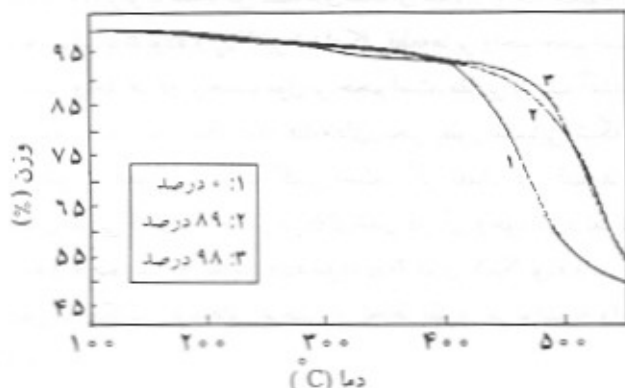
مواد مصرفی عبارتند از: لاستیک پلی‌دی‌متیل‌سیلوکسان با نام تجاری واکر M۳۰۹۰ دی‌کومیل پروکسید ۹۹ درصد دگوسا و تولوئن و متانول ساخت مرک.

دستگاهها

از غلتک و پرس به ترتیب برای آمیزه‌سازی و پخت استفاده شد و آزمونهای گرماسنجی به وسیله دستگاه DSC/TGA ساخت شرکت Rheometric Scientific STA-625 انجام گرفت.

روش

ابتدا آمیزه‌هایی از لاستیک PDMS و عامل پخت دی‌کومیل پروکسید



شکل ۲ - پایداری گرمایی برحسب درصد پیوندهای عرضی.

مجله علمی کنفرانسی سال دوازدهم، شماره چهارم، زمستان ۱۳۷۸

$$\left(\rho_{C'}^I / \rho_{C'}^H \right) = \frac{n_I}{n_H} = \frac{\Delta C_{PI}/\Delta C_P}{\Delta C_{PH}/\Delta C_P} = \frac{\Delta C_{PI}}{\Delta C_{PH}} \quad (20)$$

چگالی پیوندهای عرضی با استفاده از اندازه گیری‌های ظرفیت گرمایی به صورت n_C محاسبه می‌گردد:

$$n_C = \frac{\rho \Delta C_P}{C_P \text{ mol}} \quad (21)$$

که C_P ظرفیت گرمایی با واحد cal/mol K و ρ چگالی پلیمر با واحد g/cm^3 است. این پارامترها هر دو با تغییر دما و چگالی شبکه‌ای شدن تغییر می‌کنند.

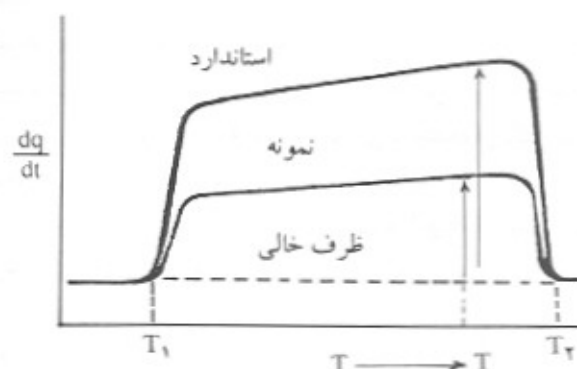
تعیین ظرفیت گرمایی

تعیین تحریبی ظرفیتهای گرمایی با استفاده از DSC معمولاً به وسیله روش اختلاف ارتفاع انجام می‌گیرد، بدین ترتیب که ابتدا از ظرف خالی نمونه (B)، نمونه مرجع (R) و نمونه موردنظر (S) سه گرمانگاشت در محدوده گرمایی پیکان تهیه می‌شود. سپس، C_P نمونه در دماهای موجود با استفاده از معادله اختلاف ارتفاعها محاسبه می‌شود (شکل ۱):

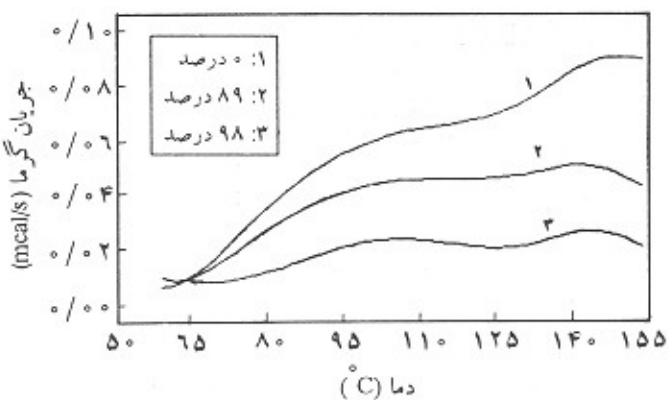
$$C_P = \frac{S - B}{R - B} \quad (22)$$

این روش نتایج تقریبی در اختیار ما می‌گذارد [۸]

طبق تعریف، مقدار گرمای لازم برای بالا بردن دمای واحد جرم به اندازه یک درجه، ظرفیت گرمایی را مشخص می‌کند. دمای نمونه به صورت مرحله‌ای یک درجه بالا می‌رود. مطابق با تعریف بالا، سطح محدود شده به وسیله منحنی نمونه و خط پایه در فاصله زمانی یادشده، ظرفیت گرمایی است. این کار به کمک دستگاه DSC امکان‌پذیر است و در زمان سبزی شده، نمونه تها از این دستگاه لازم برای بالا بردن دمای خود



شکل ۱ - محاسبه ظرفیت گرمایی با استفاده از DSC.



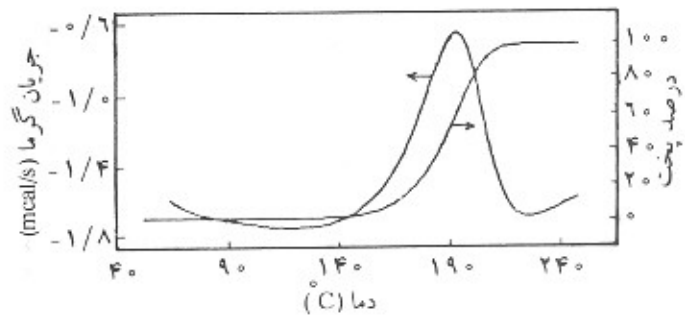
شکل ۴ - اثر پیوندهای عرضی بر تغییرات آنتالپی با دما.

شبکه‌ای شدن است، قابلیت جذب (A) و بازدهی شبکه‌ای شدن برای زمانهای مختلف در جدول ۱ آمده است. تغییرات A و Z با زمان ابتداء نسبتاً سریع و سپس کاهش می‌یابد و انتظار می‌رود که برای زمانهای طولانی ثابت شود.

چگالی‌های پیوندهای عرضی بدست آمده از معادله ۱ نیز با افزایش زمان پخت، بیشتر می‌شود که داده‌های مربوط به آن هم در جدول ۱ مندرج است.

پایداری گرمایی پلی دی متیل سیلوکسان پخت شده و پخت نشده به کمک دستگاه STA مقایسه شده که نتایج در شکل ۲ نشان داده شده است. همان طور که در شکل دیده می‌شود، با افزایش زمان پخت و افزایش چگالی شبکه‌ای شدن، پایداری گرمایی جزئی تغییر می‌یابد، اما پایداری گرمایی لاستیک پخت‌نشده با لاستیک پخت‌شده تفاوت زیادی را نشان می‌دهد.

گرمانگاشت شکل ۳ تغییرات آنتالپی را بر حسب تغییرات دما نشان می‌دهد. این گرمانگاشت مشخص می‌کند که جداکثر پخت در چه دمایی رخ می‌دهد و گرمای آزادشده در اثر پخت چه میزان بوده است. گرمانگاشت شکل ۴ نشان می‌دهد که با افزایش درجه شبکه‌ای شدن، تغییرات آنتالپی با دما کاهش می‌یابد. به بیان دیگر شبکه‌ای شده کاهش نشان می‌دهد و این تغییر بیانگر افزایش بازدهی منحنی کم می‌شود، زیرا با افزایش چگالی پیوندهای عرضی برای



شکل ۳ - گرمانگاشت DSC مربوط به پخت پلی دی متیل سیلوکسان به همراه منحنی درصد پخت بر حسب دما.

به مقدار phr ۱، به روش غلتک‌کاری تهیه می‌شود. آمیزه‌های تهیه شده به روش قالبگیری فشاری در مدت زمانهای مختلف پخت می‌گردند. از درصدهای پخت مختلف، نمونه‌هایی تا حد امکان هماندازه تهیه می‌شود و درون حلال تولوئن قرار می‌گیرد (قبل از این عمل باید اجزای سبک به وسیله محلول ۵۰ درصد متابول و تولوئن استخراج شود). بعد از قرار دادن نمونه‌ها در تولوئن، در فواصل زمانی مشخص (مثلث هر ۱ ساعت یکبار) وزن نمونه‌های متورم شده اندازه گیری می‌گردد تا اینکه وزن ثابت شود که این مقدار، میزان تورم تعادلی را می‌دهد. چگالی پیوندهای عرضی با استفاده از معادله ۱ و ۱۸ معین می‌شوند. پارامتر برهم کنش X₁ مورد استفاده در معادله ۱ برای زوج تولوئن - PDMS برابر با ۷۹۱/۰ است [۹، ۱۰].

گرمانگاشتهای DSC و TGA به صورت تابعی از دما و با سرعت گرمادهی $10^{\circ}\text{C}/\text{min}$ بدست می‌آید.

نتایج و بحث

همان طور که انتظار می‌رود با افزایش زمان پخت، قدرت جذب کاهش می‌یابد. همچنین، تغییرات وزنی پلیمر قبل و بعد از استخراج مواد شبکه‌ای شده کاهش نشان می‌دهد و این تغییر بیانگر افزایش بازدهی

جدول ۲ - ظرفیهای گرمایی در زمانهای مختلف پخت.

ρ_c				$C_p(\text{cal/gK})$			زمان پخت (min)
	11°C	8°C	4°C	11°C	8°C	4°C	
۰	۰	۰	۰	۰/۵۳۶۰	۰/۴۲۹۷	۰/۳۵۷۲	۰
۰/۱۷۶۹	۰/۱۰۶۱	۰/۱۱۲۷	۰/۴۴۱۲	۰/۲۸۴۱	۰/۲۱۶۶	۲	
۰/۲۷۶۸	۰/۲۱۹۹	۰/۲۲۵۲	۰/۳۸۷۶	۰/۳۵۵۲	۰/۲۷۳۲	۴	
۰/۳۵۴۲	۰/۲۵۶۲	۰/۲۸۵۰	۰/۳۴۶۱	۰/۳۱۹۶	۰/۲۵۵۴	۶	

جدول ۲- نسبت چگالیهای پیوندهای عرضی برای زمانهای مختلف.

ρ_{cI}/ρ_{cII}			ρ_{cI}/ρ_{cII}	نسبت زمانهای در نظر گرفته شده (I/II)
11°C	8°C	40°C		
۱/۵۶۵۴	۱/۶۲۳۸	۲/۰۶۹	۱/۳۰۶۱	۴/۲
۲/۰۲۱۶	۲/۴۱۴۵	۲/۵۰۷۴	۱/۴۸۰۱	۶/۲
۱/۲۷۹۶	۱/۴۷۷۹	۱/۲۱۱۹	۱/۱۲۳۳	۶/۴

که در اثر آن نیروهای وان در والس کاهش می‌یابد. مقادیر ρ_c با استفاده از ظرفیت گرمایی (معادله ۲۱) محاسبه و در جدول ۴ ارائه شده است. نمودار مربوط به این اعداد در شکل ۵ رسم گردیده است. همان‌طور که شکل ۵ نشان می‌دهد بین این اعداد و چگالیهای پیوندهای عرضی بدست آمده در جدول ۱ (معادله فلوری-رنر) هماهنگی قابل قبول وجود دارد، اما مقادیر بدست آمده از معادله ۲۱ از مقادیر حاصل از معادله ۱ کوچکتر است. این موضوع می‌تواند به برخی عوامل مربوط شود که باید قبل از محاسبه نتایج عددی در نظر گرفته شود. یکی از این عوامل، $\frac{1}{2} \cdot \frac{1}{n_e}$ (نسبت فاصله قبل از تغییر شکل به محتملترين فاصله انتها تا انتها در شبکه) است که در معادله فلوری-رنر بطور صریح بیان نشده است. در صورت انحراف زیاد مقدار این عامل از واحد، مقادیر تورم می‌تواند تا 20° درصد کمتر از مقدار نظری برسد [۱۱]. در مجموع می‌توان گفت روش گرماسنجی برای محاسبه چگالی پیوندهای عرضی، روشی دقیق اما هزینه‌بر بوده و همواره دسترسی به دستگاه گرماسنج پوشی تفاضلی میسر نیست. در صورتی که روش تورم تعادلی بسیار ساده، اما زمان بیرون همراه با مقداری خطاست که در اثر نحوه و زمان توزین نمونه‌های متورم و موارد باد شده در بالا بوجود می‌آید. دقت اندازه گیریهای تورم نیز می‌تواند در این امر سهیم باشد. این مطالعات می‌توانند برای بررسی تأثیر مقدار عامل پخت و دمای پخت بر چگالی پیوندهای عرضی انجام گیرد [۱۲]. همچنین، عوامل محیطی مثل رطوبت هوای نور خورشید می‌تواند روی چگالی پیوندهای عرضی اثر بگذارد [۱۳، ۱۴]. مطالعه تأثیر این عوامل با استفاده از بررسیهای خواص فیزیکی و مکانیکی پلیمر در دست انجام است.

جدول ۴- محاسبه چگالی پیوندهای عرضی به روش گرماسنجی.

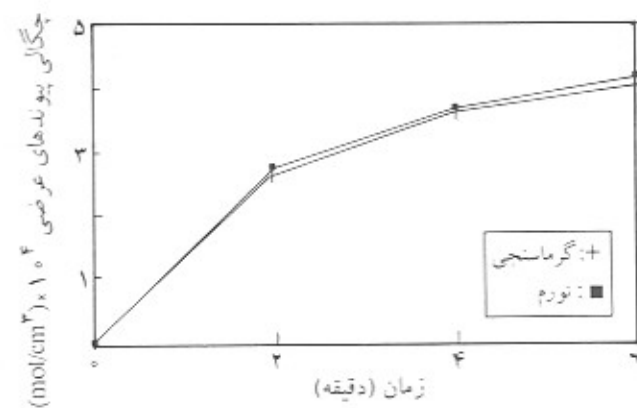
n_e (mol/cm ³)	C_p^{mol} (cal/mol K)	ΔC_p^* (cal/gK)	زمان پخت (min)
$2/6872 \times 10^{-4}$	۱۷۳/۹۳	۰/۰۴۱	۲
$3/5926 \times 10^{-4}$	۲۶۶/۴۵	۰/۰۸۴	۴
$4/0012 \times 10^{-4}$	۲۸۷/۲۲	۰/۱۰۲	۶

* ΔC_p در دمای 40°C اندازه گیری شده است.

رسیدن به همان تحرک، گرمای بیشتری لازم است. این مطلب بیان می‌کند که با کاهش طول قطعه‌های شبکه‌ای شده، تحرک این قطعه‌ها کاهش می‌یابد.

ظرفیت گرمایی نمونه‌های مختلف در جدول ۲ ارائه شده است. گرمای جذب شده در پلیمر شبکه‌ای نشده به افزایش ظرفیت گرمایی با دما مرتب می‌شود. در دمای ثابت، با افزایش درجه شبکه‌ای شدن ظرفیت گرمایی کاهش می‌یابد. این رفتار با آنچه که در شکل ۴ مشاهده می‌شود مطابقت دارد. در آنجا نیز گرمای جذب شده با افزایش چگالی پیوندهای عرضی، کاهش نشان می‌دهد. ظرفیتهای گرمایی بدست آمده و چگالیهای پیوندهای عرضی محاسبه شده با استفاده از معادله ۱۸ در زمانهای مختلف پخت در جدول ۲ آمده است. همان‌طور که مشخص است، ظرفیت گرمایی با افزایش زمان پخت کاهش می‌یابد و به دما وابسته است، یعنی با افزایش دما ظرفیت گرمایی افزایش می‌یابد. چگالی پیوندهای عرضی محاسبه شده با استفاده از معادله ۱۸ با افزایش زمان پخت بیشتر می‌شود، اما به دما وابستگی مستقیم ندارد.

در جدول ۳ مشاهده می‌شود که مقادیر ρ_{cI}/ρ_{cII} به دما وابسته است و از دمای 40°C به 11°C کاهش پیدا می‌کند. این مطلب می‌تواند به افزایش قابل توجه تحرک زنجیر در دماهای بالا مربوط شود



شکل ۵- مقایسه نتایج بدست آمده از دو روش گرماسنجی و تورم تعادلی.

نتیجه گیری

تغییرات مقدار تورم تعادلی پلیمر PDMS با تغییر زمان پخت بررسی شد و با استفاده از آن چگالی پیوندهای عرضی پلیمر محاسبه گردید. همچنین، تغییرات ظرفیت گرمایی بر حسب تغییر زمان پخت مورد مطالعه قرار گرفت و چگالی پیوندهای عرضی با استفاده از گرماسنجی نیز محاسبه شد. مقادیر بدست آمده به روش گرماسنجی بخوبی قابل مقایسه با مقادیر حاصل از اندازه گیریهای قابلیت جذب است. این بررسی نشان می‌دهد که ظرفیت گرمایی برای تخمین چگالی پیوندهای عرضی پلیمر PDMS قابل استفاده است. نتایج گرماسنجی، بروشی تفاوت سطوح مختلف شبکه‌ای شدن را بیان می‌کند.

مراجع

4. Graziano R., Sansbez F. and Rodriguez V.; *J. Appl. Polym. Sci.*; **55**, 9, 1317-27, 1995.
5. Sperling L. H.; *Introduction to Physical Polymer Science*; Wiley, New York, 1992.
6. Flory P. J. and Rehner J.; *J. Chem. Phys.*; **11**, 455, 1943.
7. Cheng S. D.; *Appl. Polym. Symp.*; **43**, 315, 1989.
8. *Thermal Analysis*; Brown M.E. (Ed.), Chapman and Hall, 1988.
9. Favre E.; *Eur. Polym. J.*; **32**, 10, 1183-88, 1996.
10. Barton F. M.; *Handbook of Polymer-Liquid Interaction Parameters*; CRC, 1990.
11. Calanti A. V. and Sperling L. H.; *Polym. Eng. Sci.*; **10**, 177, 1970
12. Morton M.; *Rubber Technology*; VNR, 3rd ed., 1987.
13. Keshavaraj R. and Tock R.W.; *Polym. Plast. Tech. Eng.*; **33**, 4, 397-417, 1994.
14. Keshavaraj R. and Tock R.W.; *Polym. Plast. Tech. Eng.*; **33**, 5, 537-50, 1994.

1. Seeley R. D. and Dyckes G. W.; *J. Appl. Polym. Sci.*; **9**, 151, 1965.
2. Tan Z., Jaeger R. and Vancso G. J.; *Polymer*; **35**, 15, 1994.
3. Parks C. R. and Brown R. J.; *J. Appl. Polym. Sci.*; **18**, 1079-82, 1974.